

Radiologe 2016 · 56:47–48  
DOI 10.1007/s00117-015-0054-x  
Online publiziert: 5. Januar 2016  
© Springer-Verlag Berlin Heidelberg 2016



CrossMark

**P. Georg<sup>1,2</sup> · P. Andrzejewski<sup>2,3</sup> · K. Pinker<sup>2,4</sup> · D. Georg<sup>2,3</sup>**

<sup>1</sup> EBG MedAustron GmbH, Wiener Neustadt, Österreich

<sup>2</sup> Christian Doppler Labor für die Medizinische Strahlenforschung, Medizinische Universität Wien, Wien, Österreich

<sup>3</sup> Abteilung für medizinische Strahlenphysik, Universitätsklinik für Strahlentherapie, Medizinische Universität Wien, Wien, Österreich

<sup>4</sup> Abteilung für molekulare Bildgebung, Universitätsklinik für Radiologie und Nuklearmedizin, Medizinische Universität Wien, Wien, Österreich

## Erratum zu: Strahlentherapieplanung mit der funktionellen MRT

### Erratum zu:

**Radiologe (2015) 55:1097–1103**

**DOI 10.1007/s00117-015-0036-z**

Der genannte Beitrag wurde fehlerhaft online publiziert:

Dem Autor D. Georg wurde ein falsches Institut zugewiesen. Wir bitten die korrekte Nennung (s. o.) zu beachten.

In Abb. 2 wurden die Legenden der Teilabbildungen 2d und 2e vertauscht. Die Abbildung mit der korrekten Legende ist hier nochmals aufgeführt ([▣ Abb. 1](#)).

In Abb. 4 stimmte die Beschriftung der Teilabbildungen mit der Abbildungslegende nicht überein. Die korrekte Abbildung ist hier ebenfalls aufgeführt ([▣ Abb. 2](#)).

Die Fehler wurden korrigiert. Wir bitten um Beachtung der aktualisierten Version.

---

### Korrespondenzadresse

---

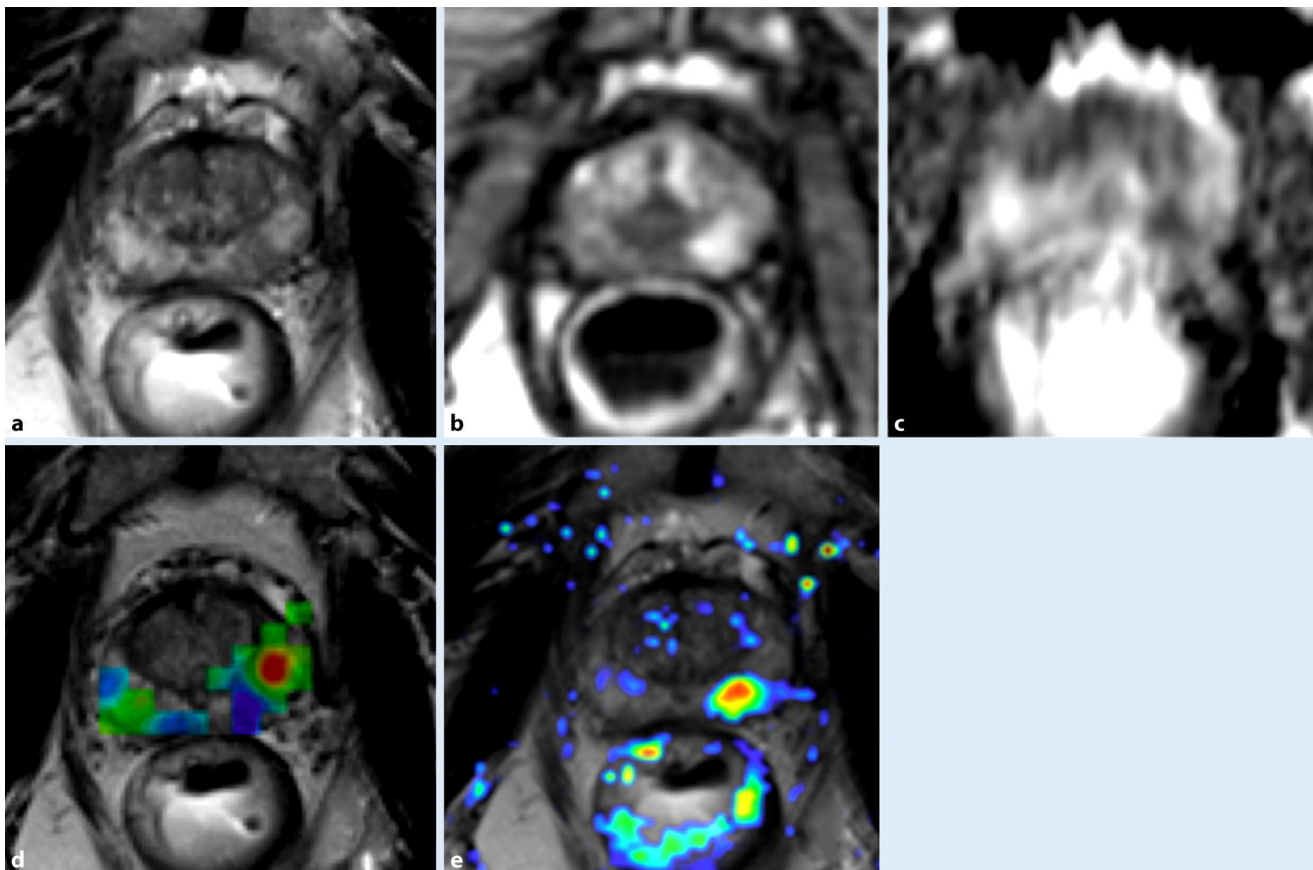
**PD Dr. P. Georg**

EBG MedAustron GmbH  
Marie-Curie-Straße 5, 2700 Wiener Neustadt,  
Österreich  
petra.georg@medaustron.at

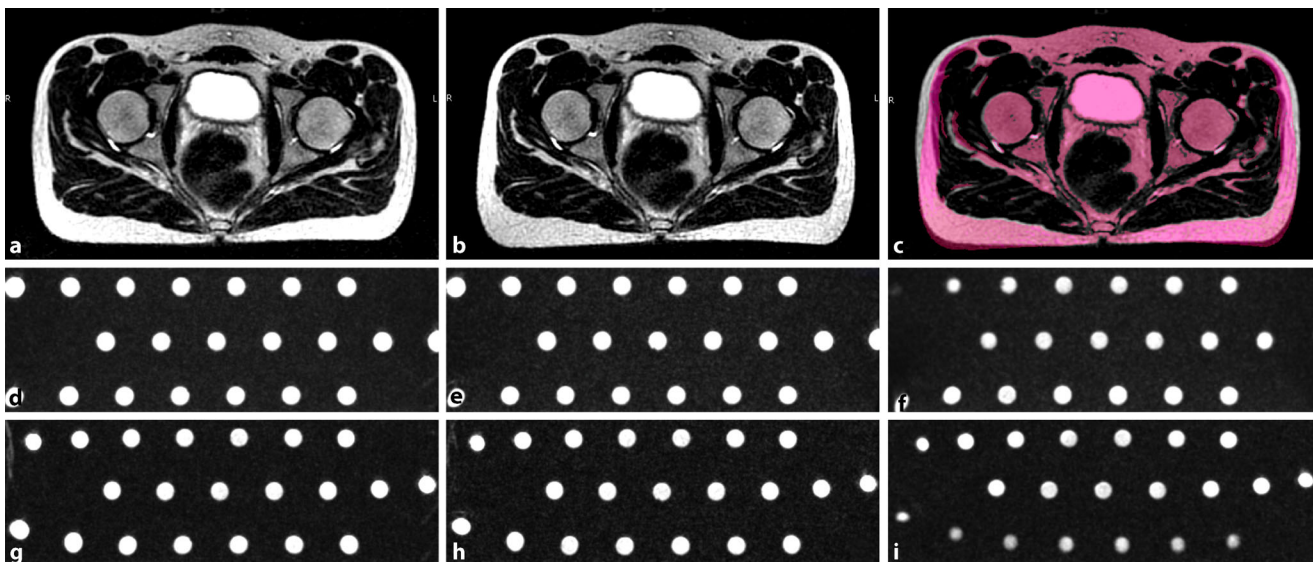
---

---

Die Online-Version des Originalartikels ist unter  
[DOI10.1007/s00117-015-0036-z](https://doi.org/10.1007/s00117-015-0036-z) zu finden.



**Abb. 1** ▲ Darstellung der intraprostatischen Läsion mittels multiparametrischer MRT. **a** T2w-Turbospinecho-(TSE-)Sequenz, **b** T1w-Dynamic-contrast-enhanced-(DCE-)Bildgebung, **c** Apparent-diffusion-coefficient-(ADC-)Map („diffusion-weighted imaging“, DWI), **d** „magnetic resonance spectroscopy imaging“ (MRSI), **e**  $k^{\text{trans}}$ -Map (70 repetitions DCE)



**Abb. 2** ▲ Verzerrungskorrektur. **a–c** MRT des Beckens mit Verzerrungskorrektur (**a**), ohne Verzerrungskorrektur (**b**) und beide Bilder überlagert (**c**). **d–f** Qualitätssicherungsphantom mit Verzerrungskorrektur in verschiedenen Abständen vom Isozentrum: 3 cm (**d**), 8 cm (**e**) und 13 cm (**f**). **g–i** Bilder des Qualitätssicherungsphantoms ohne Verzerrungskorrektur in den gleichen Abständen